

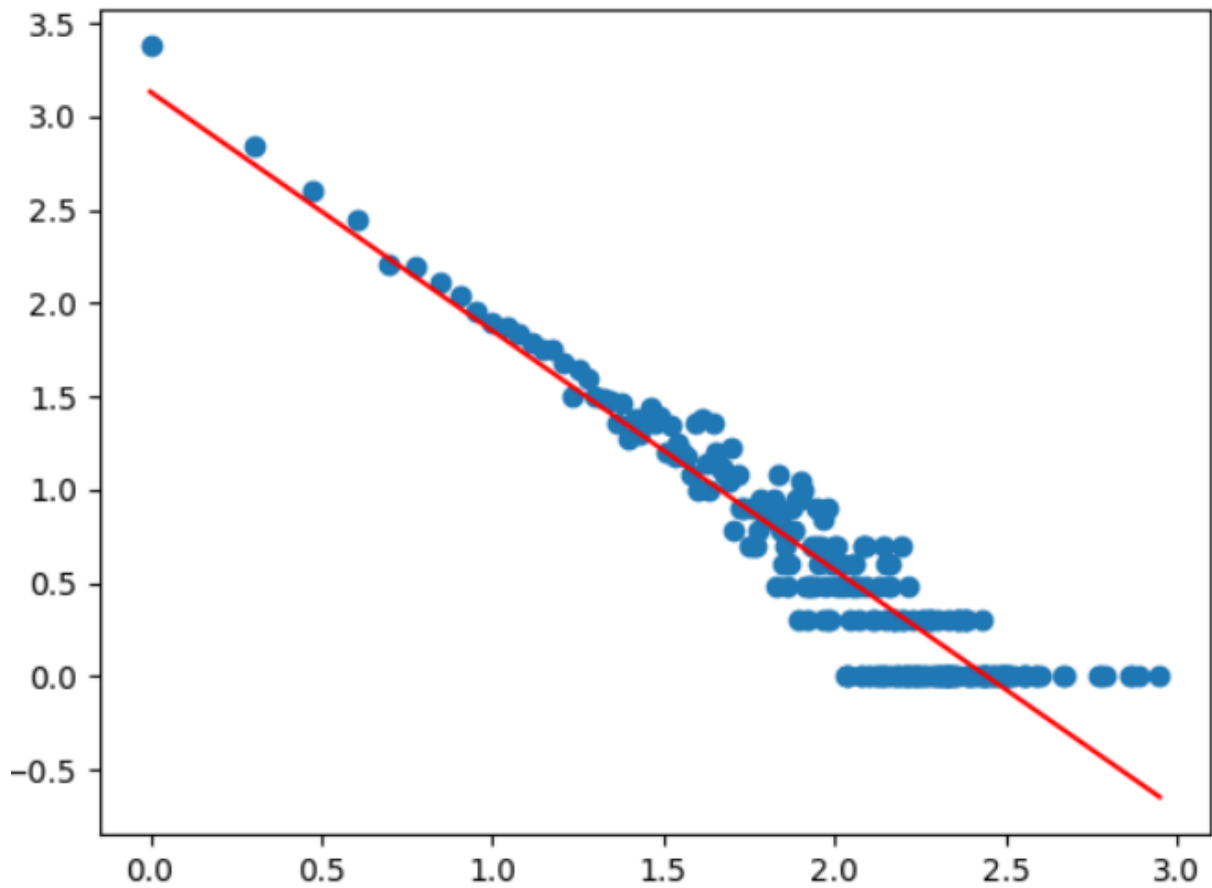
HW0

利用snap库函数分析复杂网络性质等，较简单,使用的网络为维基网络图，

直接给出图信息，

```
Python type TNGraph: Directed
Nodes: 7115
Edges: 103689
Zero Deg Nodes: 0
Zero InDeg Nodes: 4734
Zero OutDeg Nodes: 1005
NonZero In-Out Deg Nodes: 1376
Unique directed edges: 103689
Unique undirected edges: 100762
Self Edges: 0
BiDir Edges: 5854
Closed triangles: 608389
Open triangles: 12720413
Frac. of closed triads: 0.045645
Connected component size: 0.993113
Strong conn. comp. size: 0.182713
Approx. full diameter: 7
90% effective diameter: 3.789745
```

绘图展示其度分布（对数坐标下），并做拟合，证明幂律分布公式的确可以拟合出图的度分布，



度分布对数坐标图

HW1

P1

网络特征，分别生成随机图、小世界模型图、并于真实图对比图度分布和聚类系数。

下面以小世界模型图的创建为例，

```
def getSmallGraph(n=5242,m=14484):
    #先构建初始图
    G = GenSmallWorld(5242,2,0)
    eg = set()
    cnt = 0
    #连边直到边数达到设定值
    for edge in G.Edges():
        eg.add((edge.GetSrcNId(), edge.GetDstNId()))
        cnt += 1
    while True:
        u = np.random.randint(n)
        v = np.random.randint(n)
        if u!=v and (u,v) not in eg and (v,u) not in eg:
            eg.add((u,v))
            G.AddEdge(u,v)
            cnt += 1
```

```

        if cnt==m:
            break
    return G

def Q1():
    RndG = GenRndGnm(PNGraph,5242,14484)
    SmallG = getSmallGraph(5242,14484)
    RealG = loadCollabNet('datasets\snap\ca-GrQc.txt\CA-GrQc.txt')
    x_erdosRenyi, y_erdosRenyi = getDataPointsToPlot(RndG)
    plt.loglog(x_erdosRenyi, y_erdosRenyi, color='y', label='Erdos Renyi Network')

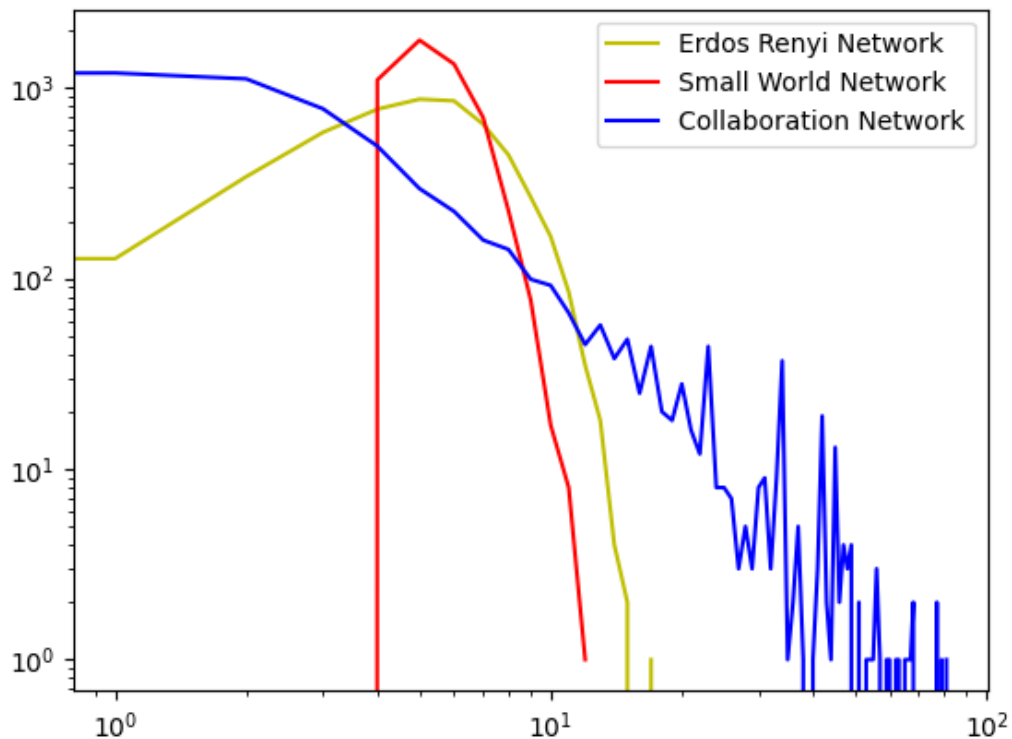
    x_smallWorld, y_smallWorld = getDataPointsToPlot(SmallG)
    plt.loglog(x_smallWorld, y_smallWorld, color='r', label='Small World Network')

    x_collabNet, y_collabNet = getDataPointsToPlot(RealG)
    plt.loglog(x_collabNet, y_collabNet, color='b', label='Collaboration Network')

    plt.legend()
    plt.savefig('dump/degree_distribution.png')

    cf1 = RndG.GetClustCf()
    cf2 = SmallG.GetClustCf()
    cf3 = RealG.GetClustCf()
    print(cf1,cf2,cf3)

```



度分布对比图

图类型	聚类系数
随机图	0.0018
小世界模型	0.2834

图类型	聚类系数
真实图	0.5269

聚类系数对比表

采用的真实图为学术合作网络，对比可以发现真实图具有幂律分布、重尾分布、高聚类系数等特征，而随机图与真实图的特征不符合，小世界模型的某些特征在一定程度上较为类似真实图。

P2

用Rolx and ReFex 模型计算图中不同结点的结构特征，

Rolx采用如下几个结点特征，并采用余弦相似度定义结点之间的相似度，

1. the degree of v , i.e., $\deg(v)$;
2. the number of edges in the egonet of v , where egonet of v is defined as the subgraph of G induced by v and its neighborhood;
3. the number of edges that connect the egonet of v and the rest of the graph, i.e., the number of edges that enter or leave the egonet of v .

We use \tilde{V}_u to represent the vector of the basic features of node u . For any pair of nodes u and v , we can use cosine similarity to measure how similar two nodes are according to their feature vectors x and y :

$$\text{Sim}(x,y)=\frac{x\cdot y}{||x||_2\cdot ||y||_2}=\frac{\sum_i x_iy_i}{\sqrt{\sum_i x_i^2}\cdot \sqrt{\sum_i y_i^2}};$$

Also, when $||x||_2=0$ or $||y||_2=0$, we defined $\text{Sim}(x,y)=0$.

ReFex算法在Rolx算法的基础傻瓜，采用如下公式递归地计算结点特征，

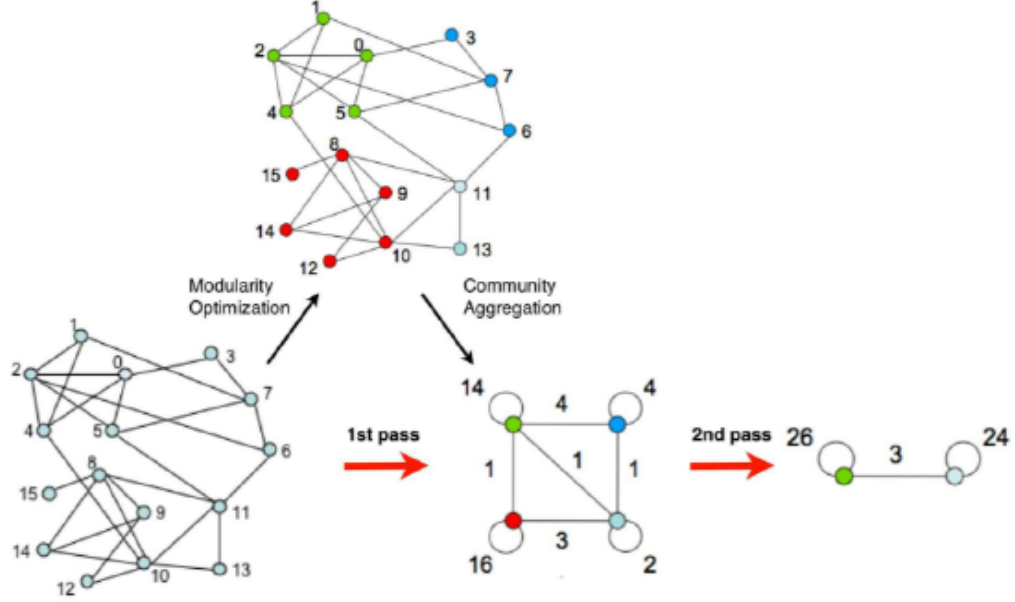
$$\tilde{V}_u^{(1)}=\left[\tilde{V}_u;\frac{1}{|N(u)|}\sum_{v\in N(u)}\tilde{V}_v;\sum_{v\in N(u)}\tilde{V}_v\right]\in\mathbb{R}^9,$$

P3

社区发现算法，基于Louvain算法，采用如下公式定义社区模块度，好的社区发现算法应该带来高的总社区模块度，

$$Q = \frac{1}{2m} \sum_{1 \leq i, j \leq n} \left(\left[A_{ij} - \frac{d_i d_j}{2m} \right] \delta(c_i, c_j) \right)$$

对每一个结点，考虑将其加入一个相邻社区所带来的模块度增益，将其加入增益最大的社区中，将同一个社区内的结点作为一个超节点，递归运行上述算法，直到发现的社区数量小于给定阈值。



Louvain算法运行示例图

算法基于贪心思想，关键是计算出将一个结点加入相邻社区的模块度增益，

$$\Delta Q = \left[\frac{\Sigma_{in} + k_{i,in}}{2m} - \left(\frac{\Sigma_{tot} + k_i}{2m} \right)^2 \right] - \left[\frac{\Sigma_{in}}{2m} - \left(\frac{\Sigma_{tot}}{2m} \right)^2 - \left(\frac{k_i}{2m} \right)^2 \right]$$

符号定义示意图见下，

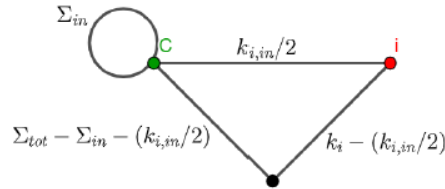


Figure 2: Before merging, i is an isolated node and C represents an existing community. The rest of the graph can be treated as a single node for this problem.

公式推导如下

$$Q = \frac{1}{2m} \sum_{i,j} \delta(x_i, x_j) [A_{ij} - \frac{d_i d_j}{2m}]$$

$$= \frac{1}{2m} (\Sigma_{in} - \frac{1}{2m} \Sigma_{tot}^2)$$

其中, Σ_{in} 表示社区内部连边的数量和, Σ_{tot} 表示社区内所有结点的度数之和。

用上述化简后的公式, 得到增益值

$$\Delta Q = [\frac{\Sigma_{in} + k_{i,in}}{2m} - (\frac{\Sigma_{tot} + k_i}{2m})^2] - [\frac{\Sigma_{in}}{2m} - (\frac{\Sigma_{tot}}{2m})^2 - (\frac{k_i}{2m})^2]$$

$$= \frac{k_{i,in}}{2m} - \frac{\Sigma_{tot} + k_i}{2m^2}$$

该算法基于贪心算法, 但极可能陷入局部最小值, 但后面可以揭示该方法和谱聚类等基于矩阵的算法的等价性。

P3

谱聚类,

先从二分类聚类开始, 目标是将一张图划分为 S, \bar{S} 两个集合, 定义,

$$vol(S) = \sum_{i \in S} d_i$$

$$cut(S) = cut(\bar{S}) = \sum_{i \in S, j \notin S} w_{ij}$$

目标是最小化以下函数,

$$cut(S) (\frac{1}{vol(S)} + \frac{1}{vol(\bar{S})})$$

$$x_i = \begin{cases} \sqrt{\frac{vol(\bar{S})}{vol(S)}} & i \in S \\ -\sqrt{\frac{vol(S)}{vol(\bar{S})}} & i \in \bar{S} \end{cases}$$

定义图的拉普拉斯矩阵 $L = D - W$, 证明拉普拉斯矩阵的一些性质,

- (i) $L = \sum_{(i,j) \in E} (e_i - e_j)(e_i - e_j)^T$, where e_k is an n -dimensional column vector with a 1 at position k and 0's elsewhere. Note that we aren't summing over the entire adjacency matrix and only count each edge once.
- (ii) $x^T L x = \sum_{(i,j) \in E} (x_i - x_j)^2$. *Hint: Apply the result from part (i).*
- (iii) $x^T L x = c \cdot \text{NCUT}(S)$ for some constant c (in terms of the problem parameters). *Hint: Rewrite the sum in terms of S and \bar{S} .*
- (iv) $x^T D e = 0$, where e is the vector of all ones.
- (v) $x^T D x = 2m$.

性质1, 对E中的每一条边考虑, $(e_i - e_j)(e_i - e_j)^T$ 等价于令 $L_{i,i} = L_{j,j} = 1$, $L_{i,j} = L_{j,i} = 0$

性质2, 类似性质1的推导, 或者由1将L展, 代入x计算, 性质12展示了拉普拉斯矩阵的几何性质,

性质3,

$$x^T L x = 2 \sum_{i \in S, j \notin S} x_i^T L x_j = 2 \sum_{i \in S, j \notin S} \left(\frac{\text{vol}(S)}{\text{vol}(\bar{S})} + \frac{\text{vol}(\bar{S})}{\text{vol}(S)} + 2 \right) = 2 \sum_{i \in S, j \notin S} \frac{(\text{vol}(S) + \text{vol}(\bar{S}))^2}{\text{vol}(S)\text{vol}(\bar{S})} = 4m \sum_{i \in S, j \notin S} \frac{1}{\text{vol}(S)} + \frac{1}{\text{vol}(\bar{S})} = 4m \text{cut}(S) \left(\frac{1}{\text{vol}(S)} + \frac{1}{\text{vol}(\bar{S})} \right)$$

性质4, 代入验证可得

性质5, 同样代入验证可得

因此问题转化为,

$$\begin{aligned} & \underset{S \subset V, x \in \mathbb{R}^n}{\text{minimize}} && \frac{x^T L x}{x^T D x} \\ & \text{subject to} && x^T D e = 0, x^T D x = 2m, x \text{ as in Equation} \end{aligned}$$

但该问题为NP问题, 考虑问题的松弛解,

$$\begin{aligned} & \underset{x \in \mathbb{R}^n}{\text{minimize}} && \frac{x^T L x}{x^T D x} \\ & \text{subject to} && x^T D e = 0, x^T D x = 2m \end{aligned}$$

该问题可用谱分解的方法解决, 进行变量替换,

$$\begin{aligned} & \underset{y}{\text{minimize}} && y^T \bar{L} y \\ & \text{subject to} && y^T D^{-1/2} e = 0, y^T y = 2m \end{aligned}$$

令 $y = \sum_{i>1} w_i q_i$, 其中 q_i 为对 \bar{L} 进行特征值分解得到的正交化特征向量, NOTE: \bar{L} 为对称矩阵, 且 q_i 不能取最小的特征值 (因为限制 $y^T D^{-1/2} e = 0$ 要求 y 与 q_1 正交, 问题转化为,

$$\begin{aligned} & \underset{w_i}{\text{minimize}} && \sum_{i>1} \lambda w_i^2 \\ & \text{subject to} && \sum_{i>1} w_i^2 = 1 \end{aligned}$$

显然, 该问题为求一个凸组合, 最小值在顶点处取得, 也即在第二小的特征值和特征向量取得,

该问题还有其他求解形式, 考虑如下定义 x , 也可以经过相似的松弛操作转化为类似的闭式解形式,

Given a partition (A, \bar{A}) , define $\mathbf{x} \in \mathbb{R}^n$ such that

$$x_i = \begin{cases} \frac{1}{\text{vol}(A)} & \text{if } v_i \in A \\ -\frac{1}{\text{vol}(\bar{A})} & \text{if } v_i \in \bar{A} \end{cases}. \quad (*)$$

One has

$$\begin{aligned} \mathbf{x}^\top \mathbf{L} \mathbf{x} &= \text{cut}(A, \bar{A})(\text{vol}(A)^{-1} + \text{vol}(\bar{A})^{-1})^2, \\ \mathbf{x}^\top \mathbf{D} \mathbf{x} &= \text{vol}(A)^{-1} + \text{vol}(\bar{A})^{-1}. \end{aligned}$$

It follows that

$$\frac{\text{cut}(A, \bar{A})}{\text{vol}(A)} + \frac{\text{cut}(A, \bar{A})}{\text{vol}(\bar{A})} = \frac{\mathbf{x}^\top \mathbf{L} \mathbf{x}}{\mathbf{x}^\top \mathbf{D} \mathbf{x}}.$$

Thus, the normalized cut for two clusters is equivalent to

$$\min_{\mathbf{x}} \frac{\mathbf{x}^\top \mathbf{L} \mathbf{x}}{\mathbf{x}^\top \mathbf{D} \mathbf{x}} \quad \text{subject to} \quad \mathbf{x} \text{ is in the form of } (*).$$

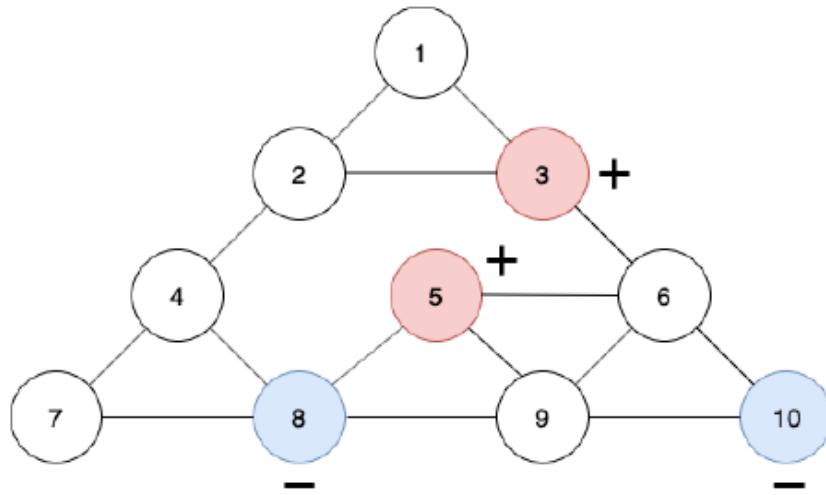
NOTE1:此处考虑优化的最小值函数称为NCUT定义，根据其他定义，也可以定义不同的 \mathbf{x} ，经过类似地方法，得到类似的闭式解

NOTE2:上述考虑的问题为二分类谱聚类问题，对于多聚类问题，也应该定义不同的 \mathbf{x} ，此处暂略。

REF:<https://www.cnblogs.com/pinard/p/6221564.html>

HW2

陈乐偲



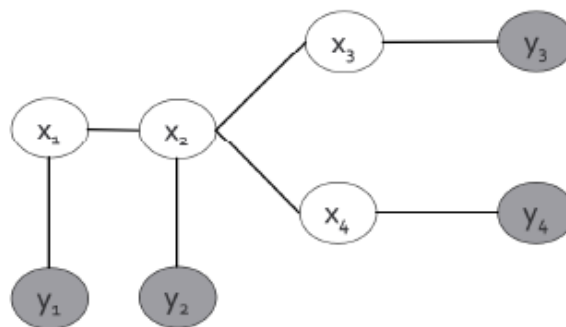
使用传播算法进行关系分类，直接迭代执行一遍，也可编程实现，略。

$$p(x_1, \dots, x_n | y_1, y_2, \dots, y_m) = \frac{1}{Z} \prod_{c \in C} \phi_c(x_c, y_c)$$

$$m_{ij}(x_j) = \sum_{x_i} \phi_i(x_i) \psi_{ij}(x_i, x_j) \prod_{k \in N_i \setminus j} m_{ki}(x_i),$$

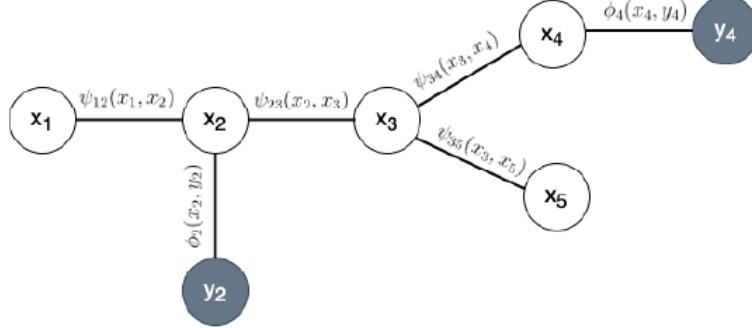
条件随机场(CRF)的信念传播，

REF: http://helper.ipam.ucla.edu/publications/gss2013/gss2013_11344.pdf



1&2.计算联合概率，为所有最大团势函数的乘积。接着计算边缘概率，对其他变量求和即可，并可以证明消息传播算法得到了边缘概率。即证明了信念传播算法的正确性。

$$\begin{aligned}
p(x_1, x_2, x_3, x_4, x_5) &= \phi(x_1, y_1) \phi(x_1, x_2) \phi(x_2, y_2) \phi(x_2, x_3) \phi(x_2, x_4) \phi(x_3, y_3) \phi(x_4, y_4) \\
b(x_1) &= \sum_{x_2, x_3, x_4, x_5} p(x_1, x_2, x_3, x_4, x_5) \\
&= \phi(x_1, y_1) \sum_{x_2} m_{21} \\
&= \phi(x_1, y_1) \sum_{x_2} \phi(x_2, y_2) \sum_{x_3} m_{32} \sum_{x_4} m_{42} \\
&= \phi(x_1, y_1) \sum_{x_2} \phi(x_2, y_2) \sum_{x_3} \phi(x_3, y_3) \sum_{x_4} \phi(x_4, y_4)
\end{aligned}$$



3.

Figure 4: For problem (iii)

$$\begin{aligned}
\psi_{12}(x_1, x_2) = \psi_{34}(x_3, x_4) &= \begin{bmatrix} 1 & 0.9 \\ 0.9 & 1 \end{bmatrix}, \psi_{23}(x_2, x_3) = \psi_{35}(x_3, x_5) = \begin{bmatrix} 0.1 & 1 \\ 1 & 0.1 \end{bmatrix}, \phi_2(x_2, y_2) = \\
\phi_4(x_4, y_4) &= \begin{bmatrix} 1 & 0.1 \\ 0.1 & 1 \end{bmatrix}.
\end{aligned}$$

根据信念传播公式，如下执行消息传播，

$$\begin{aligned}
m_{12} &= (1, 1) \\
m_{22} &= (1, 0.1) \\
m_{44} &= (0.1, 1) \\
m_{53} &= (1, 1) \\
m_{43} &= (1, 1.09) \\
m_{32} &= (1.19, 1.109) \\
m_{21} &= (1.2898, 1.1819) \\
m_{23} &= (0.2, 1.01) \\
m_{35} &= (1.1209, 0.31009) \\
m_{34} &= (2.1881, 2.18)
\end{aligned}$$

消息传播全部结束之后，计算边缘概率，并归一化获得最终结果，

$$\begin{aligned}
b(x_1) &= (0.5218, 0.4782) \\
b(x_2) &= (0.91475, 0.08525) \\
b(x_3) &= (0.1528, 0.8472) \\
b(x_4) &= (0.0912, 0.9088) \\
b(x_5) &= (0.7833, 0.2167)
\end{aligned}$$

可见，信念传播也是一种传播方法，其中隐变量x2和隐变量x4受直接可观测变量y2, y4的影响最大。

P2

TransE算法，计算结点嵌入，

input Training set $S = \{(h, \ell, t)\}$, entities and rel. sets E and L , margin γ , embeddings dim. k .

```

1: initialize  $\ell \leftarrow \text{uniform}(-\frac{6}{\sqrt{k}}, \frac{6}{\sqrt{k}})$  for each  $\ell \in L$ 
2:    $\ell \leftarrow \ell / \|\ell\|$  for each  $\ell \in L$ 
3:    $e \leftarrow \text{uniform}(-\frac{6}{\sqrt{k}}, \frac{6}{\sqrt{k}})$  for each entity  $e \in E$ 
4: loop
5:    $e \leftarrow e / \|e\|$  for each entity  $e \in E$ 
6:    $S_{batch} \leftarrow \text{sample}(S, b)$  // sample a minibatch of size  $b$ 
7:    $T_{batch} \leftarrow \emptyset$  // initialize the set of pairs of triplets
8:   for  $(h, \ell, t) \in S_{batch}$  do
9:      $(h', \ell, t') \leftarrow \text{sample}(S'_{(h, \ell, t)})$  // sample a corrupted triplet
10:     $T_{batch} \leftarrow T_{batch} \cup \{(h, \ell, t), (h', \ell, t')\}$ 
11:   end for
12:   Update embeddings w.r.t.  $\sum_{((h, \ell, t), (h', \ell, t')) \in T_{batch}} \nabla [\gamma + d(h + \ell, t) - d(h' + \ell, t')]_+$ 
13: end loop

```

$$1. \mathcal{L}_{\text{simple}} = \sum_{(h, \ell, t) \in S} d(h + \ell, t),$$

采用上述损失，当 $l = (0, 0)$ 时， $h = t$ ，损失达到最小值0，但不能提供任何有效嵌入信息，因此为无用嵌入。

2.

$$\mathcal{L}_{\text{no margin}} = \sum_{(h, \ell, t) \in S} \sum_{(h', \ell, t') \in S'_{(h, \ell, t)}} [d(h + \ell, t) - d(h' + \ell, t')]_+,$$

用上述损失改进，目标是最小化正样例距离和负样例距离的gap，但当所有正样例的距离和负样例距离都为0时，损失函数为0，此时仍为无用嵌入，

因此，需要采用带间隔的损失，

$$\sum_{((h, \ell, t), (h', \ell, t')) \in T_{batch}} \nabla [\gamma + d(h + \ell, t) - d(h' + \ell, t')]_+$$

3. 归一化的作用，

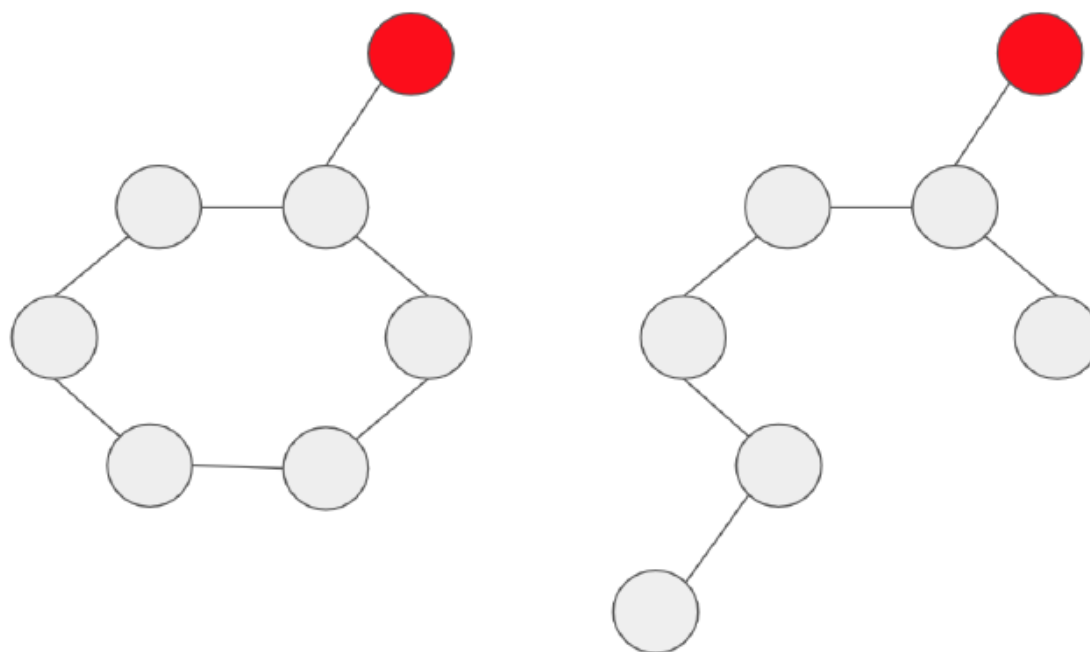
如果不归一化，会使得模长大的向量基本不变，而模长小的向量向模长大的向量方向靠拢，产生我们不想要的偏置。

4. TransE失败的情况

简单考虑一组1对n关系，每组关系相同，此时transE算法不能找到完美的嵌入使得所有正样例距离为0，

本质上，TransE的完美嵌入，相当于解一个线性方程组，但总可以轻易构建一个方程组使其无解。

1. GNN深度对模型判别能力的影响,



上述例子中两个红色结点具有完全相同的2跳邻居结构，所以2层及以下的GCN将为该节点构建相同的计算图，使得模型不能判别结点。

类似地，GCN可以用于判别环路，本质仍然是消息传递，和上面类似，略

NOTE：尽管GCN的能力受限于深度，但在现实社交网络中，根据六度空间理论，在六跳内一个结点大概率可以遍历整张图，所以并不需要采用深层GCN，很多时候浅层GCN的感受野已经可以满足需求。

2. GNN和随机游走的关系

一跳随机游走的转移公式可以写为， $H_{t+1} = D^{-1}AH_t$

增加自环的转移公式可以写为， $H_{t+1} = \frac{1}{2}D^{-1}(A + I)H_t$

也即，也可以把随机游走和基于随机游走的嵌入算法等，归结于GNN的消息传递的框架之下。

3.GNN的过平滑化证明,

考虑和上述一跳邻居随机游走相同定义的GNN， $H_{t+1} = D^{-1}AH_t$

令 $L = D^{-1}A$, 可见L为随机矩阵，可以验证L的存在特征值为1，特征向量为 $e = [1, 1, \dots, 1]^T$ 的特征向量对，

即直接验证 $Le = e$,

且由反证法，可以证明1为L的最大特征值，下证：

若存在特征值 λ 大于1，且特征向量 v 不为 $k[1, 1, \dots, 1]^T$ 的特征向量对，则存在 $v_i = \max |v_k|, j \neq \max |v_k|$,

则 $|(Lv)_i| < |v_i Le|_i = |v_i e|_i = |v_i|$, 与 $\lambda > 1$ 的假设不符合，矛盾，

也即L矩阵的谱半径为1，则迭代算法必收敛，且收敛到特征向量 e ,也即最终所有结点的标签都将相同，此即GNN的过平滑化。

NOTE：引入可学习参数、采用在多层GCN之间加入非线性激活函数等方法可减轻过平滑化的现象，但过平滑化仍然是GNN的重大问题。

4. 用GNN学习BFS,

将已经遍历的结点设为1, 为遍历的结点设为0, 每个时间戳, 执行以下消息传递算法,

对于每个结点, 如果状态为1, 不变。如果状态为0, 且存在一个邻居状态为1, 将其状态设置为1.

每一个结点状态被设置为1的时间戳, 便代表了其BFS序。如上定义的消息传递GNN, 便可以学习到BFS序遍历。

NOTE:消息传递的性质天然适用于可达性查询等和BFS类似的图算法, 因此也可以作为GNN的一种解释。

P4

训练GNN, 比较三种GNN模型, GAT、GCN、SAGE

REF : https://colab.research.google.com/drive/1I8a0DfQ3fl7Njc62__mVXUlcAleUclnb?usp=sharing#scrollTo=ecJCNRmT2RsF

REF: <https://colab.research.google.com/drive/14OvFnAXggxB8vM4e8vSURUp1TaKnovzX?usp=sharing>

结点分类任务, GNN由两层卷积层组成

- GCN1(in_features, hidden_features)
- GCN2(hidden_features, num_classes)

```
import torch
from torch_geometric.datasets import Planetoid
import torch.nn.functional as F
from torch_geometric.nn import GCNConv, GATConv, SAGEConv

class GCNNet(torch.nn.Module):
    def __init__(self):
        super().__init__()
        self.conv1 = SAGEConv(1433, 16)
        self.conv2 = SAGEConv(16, 7)

    def forward(self, data):
        x, edge_index = data.x, data.edge_index
        x = self.conv1(x, edge_index)
        x = F.relu(x)
        x = F.dropout(x, training=self.training)
        x = self.conv2(x, edge_index)
        return F.log_softmax(x, dim=1)

dataset = Planetoid(root='./datasets/Cora', name='Cora')
device = torch.device('cuda' if torch.cuda.is_available() else 'cpu')
GCN = GCNNet().to(device)
data = dataset[0].to(device)
optimizer = torch.optim.Adam(GCN.parameters(), lr=0.01, weight_decay=5e-4)
GCN.train()
GCNaccs = []
for epoch in range(200):
    optimizer.zero_grad()
    out = GCN(data)
    loss = F.nll_loss(out[data.train_mask], data.y[data.train_mask])
    loss.backward()
    optimizer.step()
```

```

_, pred = GCN(data).max(dim=1)
correct = pred[data.test_mask].eq(data.y[data.test_mask]).sum()
accuracy = correct / data.test_mask.sum()
GCNaccs.append(accuracy.item())

print(GCNaccs)
GCN.eval()
_, pred = GCN(data).max(dim=1)
correct = pred[data.test_mask].eq(data.y[data.test_mask]).sum()
accuracy = correct / data.test_mask.sum()
print("accuracy", accuracy.item())

# acc 81.10%

```

图分类任务，ENZYMES数据集太难做（由于能力所限），准确率仅有30%左右，转而使用MUTAG数据集

GNN由几个结构组成，

- 多层GCN，计算结点嵌入
- 全局汇聚（sum/mean），计算图嵌入
- 线性层分类器，计算预测概率

```

import torch
from torch_geometric.datasets import TUDataset
from torch_geometric.data import DataLoader
from torch.nn import Linear
import torch.nn.functional as F
from torch_geometric.nn import GCNConv, GATConv, SAGEConv
from torch_geometric.nn import global_mean_pool
#dataset = TUDataset(root='datasets/ENZYMES', name='ENZYMES')
dataset = TUDataset(root='datasets/TUDataset', name='MUTAG')

#划分为数据集
torch.manual_seed(42)
dataset = dataset.shuffle()
train_dataset = dataset[:150]
test_dataset = dataset[150:]
print(len(train_dataset), len(test_dataset))

train_loader = DataLoader(train_dataset, batch_size=64, shuffle=True)
test_loader = DataLoader(test_dataset, batch_size=64, shuffle=False)

class GNN(torch.nn.Module):
    def __init__(self, hidden_channels):
        super().__init__()
        self.conv1 = SAGEConv(dataset.num_node_features, hidden_channels)
        self.conv2 = SAGEConv(hidden_channels, hidden_channels)
        self.conv3 = SAGEConv(hidden_channels, hidden_channels)
        self.lin = Linear(hidden_channels, dataset.num_classes)

    def forward(self, x, edge_index, batch):
        #结点嵌入
        x = self.conv1(x, edge_index)
        x = x.relu()
        x = self.conv2(x, edge_index)
        x = x.relu()
        x = self.conv3(x, edge_index)
        #全局汇聚
        x = global_mean_pool(x, batch)
        #分类

```

```

        #x = F.dropout(x, p=0.5, training=self.training)
        x = self.lin(x)
        return x

model = GNN(hidden_channels=64)
optimizer = torch.optim.Adam(model.parameters(), lr=0.01)
criterion = torch.nn.CrossEntropyLoss()

def train():
    model.train()
    for data in train_loader:
        optimizer.zero_grad()
        out = model(data.x, data.edge_index, data.batch)
        loss = criterion(out, data.y)
        loss.backward()
        optimizer.step()

def test(loader):
    model.eval()
    correct = 0
    for data in loader:
        out = model(data.x, data.edge_index, data.batch)
        pred = out.argmax(dim=1)
        correct += int((pred == data.y).sum())
    return correct / len(loader.dataset)

accs = []
for epoch in range(200):
    train()
    train_acc = test(train_loader)
    test_acc = test(test_loader)
    accs.append(test_acc)
    print(f'Epoch: {epoch:03d}, Train Acc: {train_acc:.4f}, Test Acc: {test_acc:.4f}')
print(accs)

```

cora是一个学术引用网络，每个结点表示一篇机器学习论文，结点特征为结点话题，边表示论文引用关系，数据集信息如下，

```

Dataset: Cora():
=====
Number of graphs: 1
Number of features: 1433
Number of classes: 7

Data(edge_index=[2, 10556], test_mask=[2708], train_mask=[2708], val_mask=[2708], x=[2708, 1433], y=[2708])
=====
Number of nodes: 2708
Number of edges: 10556
Average node degree: 3.90
Number of training nodes: 140
Training node label rate: 0.05
Contains isolated nodes: False
Contains self-loops: False
Is undirected: True

```

MUTAG是一个化合物数据集，数据集中每张图表示一种化合物结构，目标是预测化合物是否为芳香族化合物，数据集信息如下，

```

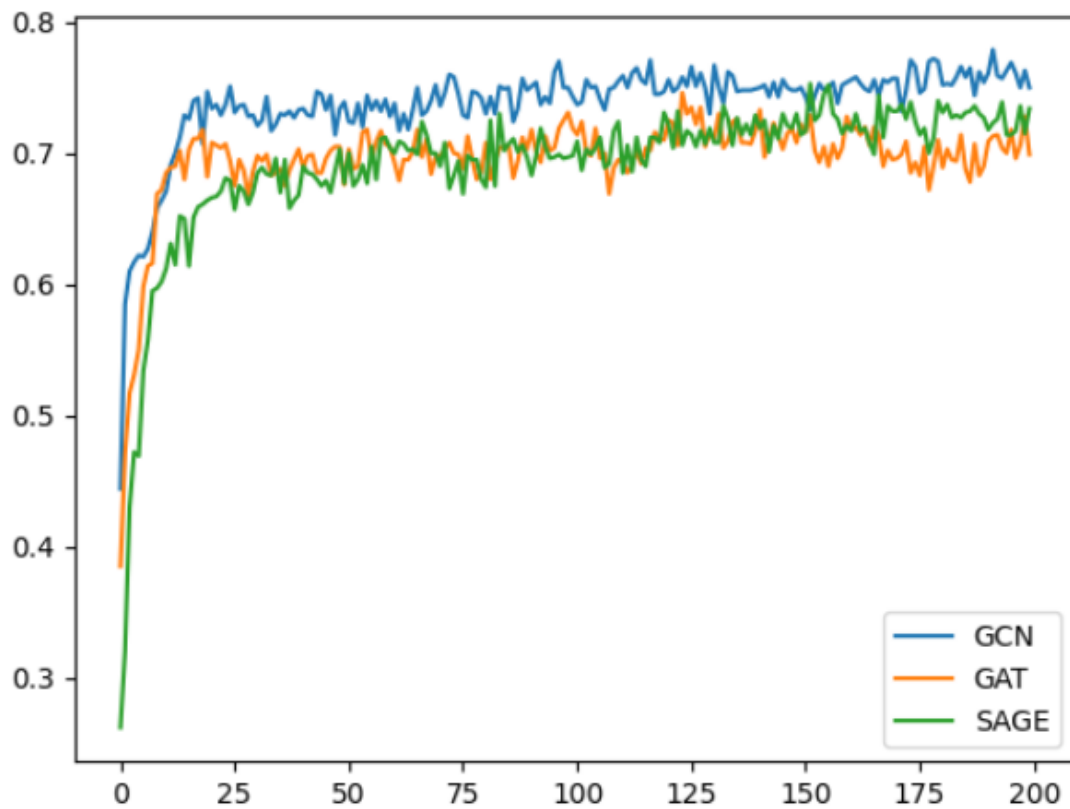
Dataset: MUTAG(188):

```

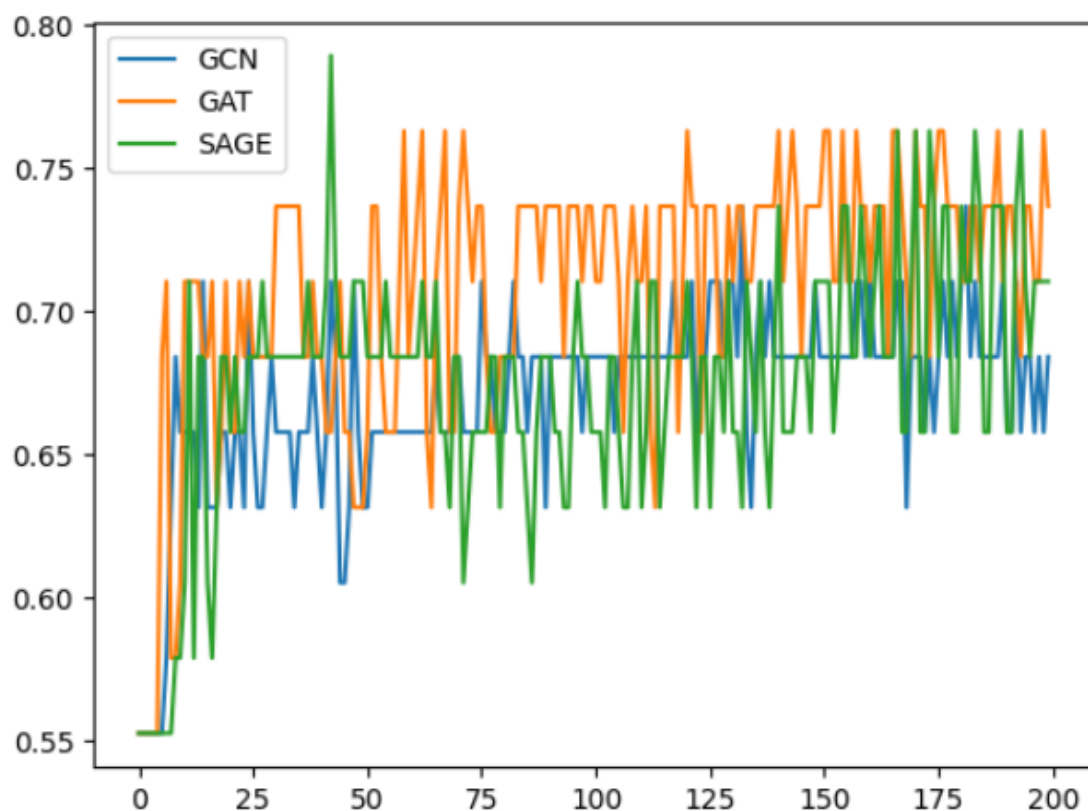
```
=====
Number of graphs: 188
Number of features: 7
Number of classes: 2

Data(edge_attr=[38, 4], edge_index=[2, 38], x=[17, 7], y=[1])
=====
Number of nodes: 17
Number of edges: 38
Average node degree: 2.24
Contains isolated nodes: False
Contains self-loops: False
Is undirected: True
```

三种GNN对比如下,



结点分类任务不同GNN对比



图分类任务不同GNN对比

NOTE:

- 图分类任务比结点分类任务困难很多，训练时准确率的方差也很大。
- 在结点分类任务上，表现最好的模型是GCN，给出的解释是GCN可能更多地学习到了结点的不同角色
- 在图分类任务上，表现最好的模型是GAT,给出的解释是在化合物结构中，注意力机制具有很强烈的化学意义，比如由于某些化学基团的存在，不同种类原子对其连接的原子的重要性不尽相同，GAT天然具有该解释作用，也可以从一些GAT注意力的可视化中看出来。